

УДК 622.725:622.345(083.96)  
DOI: 10.21209/2227-9245-2017-23-8-33-40

## ИССЛЕДОВАНИЯ СОРТИРУЕМОСТИ РУД, ДОБЫТЫХ КАМЕРНЫМИ СИСТЕМАМИ, В ЗАВИСИМОСТИ ОТ РАЗМЕРА КУСКА СОРТИРУЕМОЙ ГОРНОРУДНОЙ МАССЫ

### RESEARCHES ON WASHABILITY OF ORES, PROCURED BY CHAMBERED SYSTEMS, DEPENDING ON DIMENSION OF A CHUNK OF SORTED ORE MINING MASS



*A. V. Бейдин,*  
Забайкальский  
государственный  
университет, г. Чита  
*beydin@mail.ru*



*V. A. Овсейчук,*  
Забайкальский  
государственный  
университет, г. Чита  
*mks3115637@yandex.ru*



*A. A. Морозов,*  
Приаргунское производственное  
горно-химическое объединение  
(ПАО «ППГХО»), г. Краснокаменск  
*morozovaa@ppgho.ru*

*A. Beydin,*  
Transbaikal State University,  
Chita

*V. Ovseichuk,*  
Transbaikal State University,  
Chita

*A. Morozov,*  
Priargunsk Industrial Mining and  
Chemical Union (PJSC PIMCU),  
Krasnokamensk

Установлена зависимость показателей обогащения урановых руд рентгенорадиометрическим методом от их гранулометрического состава. Показатели, характеризующие сортируемость беднобалансовых урановых руд в зависимости от крупности кусков сортируемой руды ( $-200 \dots +25$  мм), изменяются следующим образом: выход бедной руды в концентрат колеблется в пределах 11...25 %; выход хвостов сортировки для бедных руд изменяется в пределах 89...74 %; извлечение урана из бедных руд в концентрат составляет 61...92 %. Наиболее эффективно сортировке подвергаются бедные руды при уменьшении крупности кусков от  $-200$  до  $+25$  мм. Учитывая, что при грохочении удаляется надрешетный продукт с некондиционным содержанием урана и обогащенная рудная мелочь, в процессе покусковой сепарации машинного класса вся горнорудная масса может быть разделена на сырье для сухой закладки, которое составляет 55 %, сырье для блочного подземного выщелачивания (БПВ) – 14 %, сырье для переработки гидрометаллургической технологией (ГМТ) – 31 %

**Ключевые слова:** урановые руды; гранулометрический состав руд; рентгенорадиометрическая сепарация; гидрометаллургическая технология; выход хвостов сортировки; выход концентрата; коэффициент обогащения; грохочение; камерные системы; горнорудная масса

The relation of parameters of uranium ores dressing by the X-ray radiometric method from their distribution into sizes is established. The parameters, describing on washability of poor uranium ores, depending on fineness of aggregate of chunks of sorted ore (from  $-200$  mm up to  $+25$  mm) vary as follows: the output of lean ore in a concentrate oscillates varies from 11...25 %; the output of tailings of sorting for lean ores varies from 89...74 %; extraction of uranium compounds of lean ores in a concentrate amounts 61 up to 92 %. Most effectively lean ores are exposed to sorting at an abatement of fineness of aggregate of chunks from  $-200$  up to  $+25$  mm. Taking into account that during the trammeling the top size product is removed with the off-grade contents of uranium and enriched fine ore, in process of lumpy separation of a machine class, all ore mining mass can be separated into:

raw material for dry backfill compounds, makes up 55 %, raw material for in-situ leaching (ISL) – 14 %, raw material for processing by hydrometallurgical technology (HMT) – 31 %

**Key words:** uranium ores; X-ray radiometric separation; hydrometallurgical technology; distribution of sizes of ores; output of sorting tailings; concentrate yield; enrichment factor; screening; chamber systems; mining mass

---

По мере повышения степени измельчения сырья в общем случае уменьшается количество сростков, степень дезинтеграции различных минералов и контрастность сырья возрастают, однако селективность и эффективность обогатительных процессов при переизмельчении сверх определенного уровня резко снижается вплоть до экономически неприемлемой. На современном уровне развития техники и технологии для процессов предконцентрации используется относительно крупный «макроразмер» минерального сырья [2; 8; 4; 10]. В рамках этого постулата важно определить оптимальный размер сортируемого куска руды. Для этих целей проведены исследования сортируемости горнорудной массы на рентгенорадиометрических сепараторах в зависимости от крупности размера куска [6].

Объектом исследований является беднобалансовая по содержанию урана руда (0,030...0,120 %), добываемая камерными системами [5]. Технологическая проба массой 8903 кг подвергнута классификации (расситовке). В процессе грохочения горнорудная масса разделена на классы крупности: –200+100 мм, –100+60 мм, –60+25 мм, –25+0 мм. Выход класса крупности +150 мм составил 17 % с содержанием урана менее 0,03 %, поэтому он может быть выведен из дальнейшего процесса рудоподготовки. Машинный класс (–25+150 мм) составляет 46...50 % от общего объема горнорудной массы и содержит около 41 % урана, он и является продуктом для дальнейшей рентгенорадиометрической сортировки. Класс крупности –25 мм является рудной мелочью и, как показали предыдущие исследования, практически не подвергается сепарации, поэтому совмест-

но с шламом этот класс (содержание урана около 0,170 %) может быть направлен на гидрометаллургическую переработку [1; 3; 7; 11].

Дальнейшие исследования направлены на уточнение полученных предварительных данных по обогащению горнорудной массы, добытой системой «Подэтажные штреки» методом простой расситовки и проведению исследовательских работ по обогащению машинного класса крупности методом покусковой рентгенорадиометрической сепарации (PPC) в подземных условиях рудника [9].

В процессе PPC получены зависимости выхода концентрата, хвостов сепарации и урана в них от крупности куска сортируемой руды (рис. 1...3).

Показатели извлечения в зависимости от размера куска могут быть описаны формулами:

— извлечение руды в концентрат

$$z = 53,10006 - 36,48761 \log K_{kp} + 7,85707 \log(K_{kp})^2, \quad (1)$$

где  $K_{kp}$  — класс крупности, мм;

— извлечение урана в концентрат

$$z_2 = 10^{(1,04409 + 0,09747 \log K_{kp} - 0,22088 \log(K_{kp})^2)}. \quad (2)$$

На основе исследовательских и опытно-промышленных работ проведен анализ баланса горнорудной массы и урана в сортах, выделенных при рудоподготовке из добытой системой разработки «Подэтажные штреки» руды [9].

Результаты анализа приведены в табл. 1...3 и на рис. 4, 5.

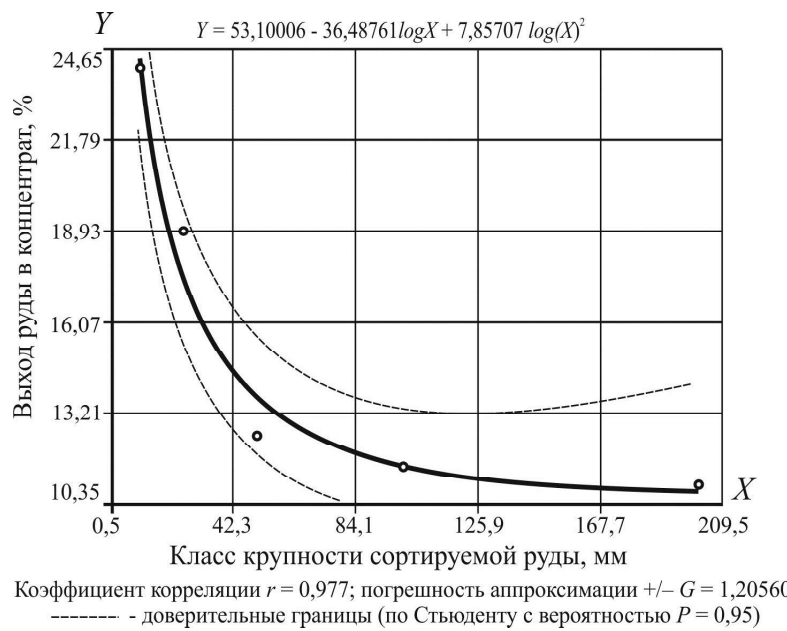


Рис. 1. Зависимость выхода концентрата при сортировке бедных урановых руд (0,030...0,120 %) от класса крупности кусков руды/

Fig. 1. Dependence of concentrate yield during sorting of poor uranium ores (0,030...0,120 %) from the grade size of ore lumps

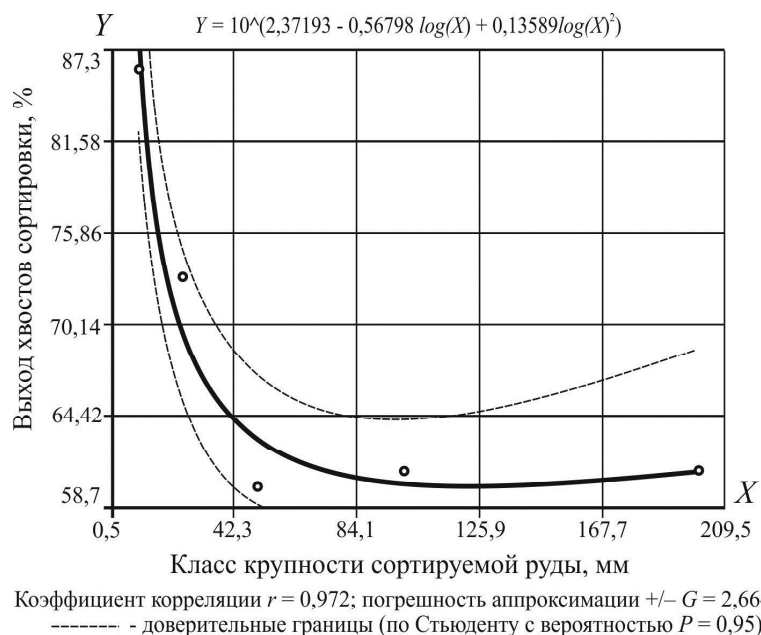


Рис. 2. Зависимость выхода хвостов при сортировке бедных урановых руд (0,030...0,120 %) от класса крупности кусков руды/

Fig. 2. Dependence of tailings yield during sorting of poor uranium ores (0,030...0,120 %) from the grade size of ore lumps

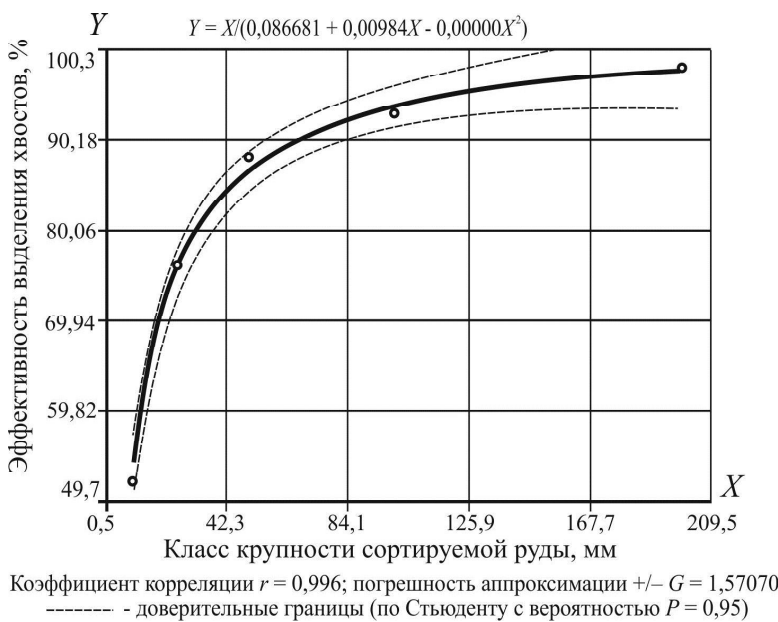


Рис. 3. Зависимость извлечения урана в концентрат при сортировке бедных урановых руд (0,030...0,120 %) от класса крупности кусков руды/

Fig. 3. Dependence of extraction of uranium in concentrate during sorting of poor uranium ores (0,030...0,120 %) from the grade size of ore lumps

Как видно из рис. 1...3, показатели, характеризующие сортируемость урановых руд рентгенорадиометрическим методом в зависимости от крупности кусков сортируемой руды (-200...+10 мм), изменяются следующим образом [5; 6; 7]:

- выход бедной руды в концентрат колеблется 11...25 %;
- выход хвостов сортировки для бедных руд изменяется от 89 до 74 %;
- извлечение урана из бедных руд в концентрат составляет 61...92 %.

Таблица 1/Table 1

Распределение горнорудной массы по сортам при расситовке исходной пробы/  
Distribution of the ore mass in grades during screen analysis of the original sample

Сорт горнорудной массы/ Grade of ore	Количество руды, т/ Amount of ore, t	Доля продукта, %/ Share of product, %	Содержание урана, %/ Uranium content, %	Уран в продукте, кг/ Uranium in product, kg	Доля урана в продукте, %/ Share of uranium in the product, %
Хвосты/Tailings	801,3	9,0	0,020	160,2	2,5
Промпродукт для PPC/Middleings for XRS	5430,8	61,0	0,054	2947,7	46,0
Продукт для ГМТ (рудная мелочь и шлам)/Product for HMT	2670,9	30,0	0,124	3300,1	51,5
Итого/Total	8903,0	100,0	0,072	6408,0	100,0

Примечание (note): PPC (XRS) – рентгенорадиометрическая сепарация (X-ray radiometric separation); ГМТ (HMT) – гидрометаллургическая технология (hydrometallurgical technology)

Таблица 2/Table 2

**Распределение горнорудной массы по сортам после PPC**  
**Distribution of ore mass in grades after XRS**

Сорт горнорудной массы/ Grade of ore	Количество руды, т/ Amount of ore, t	Доля продукта, %/ Share of product, %	Содержание урана, %/ Uranium content, %	Уран в продукте, кг/ Uranium in product, kg	Доля урана в продукте, %/ Share of uranium in the product, %
Промпродукт для PPC/ Middlings for XRS	5430,8	100,0	0,054	2947,7	100,0
Хвосты/Tailings	4116,5	75,8	0,006	265,3	9,0
Продукт для БПВ/ Product for ISL	1261,7	20,2	0,197	2482,1	83,5
Продукт для ГМТ/ Product for HMT	52,5720	4,0	0,381	200,3	7,5

Примечание (note): БПВ (ISL) – блочное подземное выщелачивание (in-situ leaching)

Таблица 3/Table 3

**Распределение горнорудной массы по сортам после полной рудоподготовки/**  
**Distribution of ore mass in grades after complete ore dressing**

Сорт горнорудной массы/ Grade of ore	Количество руды, т/ Amount of ore, t	Доля продукта, %/ Share of product, %	Содержание урана, %/ Uranium content, %	Уран в продукте, кг/ Uranium in product, kg	Доля урана в продукте, %/ Share of uranium in the product, %
Исходная проба/ Initial sample	8903,0	100,0	0,071976	6408,0	100,0
Хвосты/Tailings	4917,8	55,2	0,009	425,4912	6,64
Продукт для БПВ/ Product for ISL	1261,7	14,2	0,197	2482,09	38,73423
Продукт для ГМТ/ Product for HMT	2723,5	30,6	0,129	3500,419	54,62577

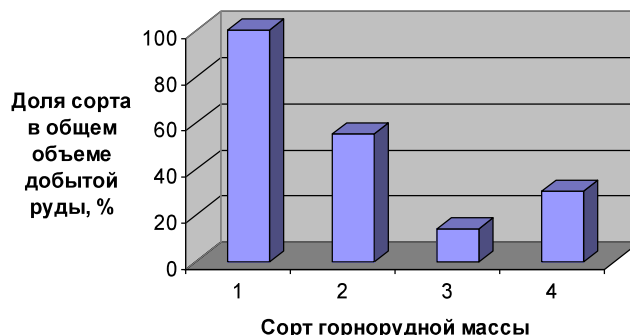


Рис. 4. Распределение горнорудной массы по сортам в процессе подземной рудоподготовки:  
 1 – всего добываемой горнорудной массы; 2 – хвосты рудоподготовки; 3 – концентрат для БПВ;  
 4 – концентрат для ГМТ/

Fig. 4. Distribution of ore mass in grades in the process of underground ore dressing:  
 1 – total mined ore mass; 2 – tailings of ore dressing; 3 – concentrate for ISL; 4 – concentrate for HMT

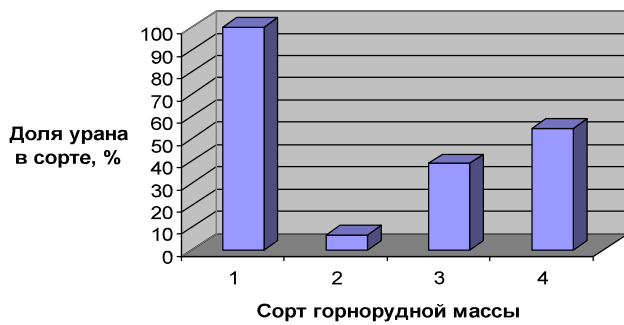


Рис. 5. Распределение урана в горнорудной массе по сортам в процессе подземной рудоподготовки:  
 1 – всего урана в добытой горнорудной массе; 2 – уран в хвостах рудоподготовки;  
 3 – уран в концентрате для БПВ; 4 – уран в концентрате для ГМТ/

Fig. 5. Distribution of uranium in the ore mass according to grades in the process of underground ore dressing:  
 1 – total uranium in mined ore mass; 2 – uranium in tailings of ore dressing; 3 – uranium in concentrate for ISL;  
 4 – uranium in concentrate for HMT

Баланс горной массы по использованию в различных технологиях приведен в табл. 4.

Таблица 4/Table 4

**Баланс горнорудной массы по использованию в различных технологиях**  
**Balance of ore mass for use in various technologies**

Тип горнорудной массы/Type of ore mass	Масса, т/Weight, t	Доля типа, %/Share of type, %
Сырье для сухой закладки/Materials for dry backfill	4917,8	55,2
Сырье для БПВ/ Materials for ISL	1261,7	14,2
Сырье для ГМТ/ Materials for HMT	2723,5	30,6
Итого/Total	8903,0	100,0

Таким образом, сырье для сухой закладки составляет 55 %, сырье для БПВ – 14 %, сырье для ГМТ – 31 %.

**Список литературы**

1. Иванов В. Г., Култышев В. И., Колесаев В. Б. [и др.]. Оптимизация разработки сложноструктурных урановых месторождений. М.: МГГУ, 2007. 265 с.
2. Кобзев А. С. Радиометрическое обогащение минерального сырья. М.: Горная книга, 2015. 125 с.
3. Култышев В. И., Колесаев В. Б., Литвиненко В. Г. [и др.]. Повышение эффективности подземной разработки урановых месторождений. М.: МГИУ, 2007. 212 с.
4. Нанотехнология в ближайшем десятилетии. Прогноз направления исследований / под ред. М. К. Роко, Р. С. Уильямса и П. Аливисатоса. М.: Мир, 2002. 292 с.
5. Овсейчук В. А., Тирский А. В., Подопригора В. Е., Бейдин А. В. [и др.]. Отчет об исследовательских испытаниях сортируемости урановых руд месторождений Стрельцовского рудного поля. Чита, 2013. 104 с.
6. Овсейчук В. А., Тирский А. В., Подопригора В. Е., Бейдин А. В. [и др.]. Отчет об предварительных испытаниях сортируемости урановых руд месторождений Стрельцовского рудного поля. Чита, 2013. 109 с.
7. Овсейчук В. А., Тирский А. В., Подопригора В. Е., Бейдин А. В. [и др.]. Отчет об приемочных (опытно промышленных) испытаниях сортируемости урановых руд месторождений Стрельцовского рудного поля. Чита, 2015. 52 с.
8. Скорина М. Л., Юртов Е. В. Нанотехнология в материалах сайтов сети Интернет // Химическая технология, 2003. № 1. С. 39–43.
9. Шурыгин С. В., Овсейчук В. А. Влияние размера куска на сортируемость урановых руд радиометрическими методами // Горный информационно-аналитический бюллетень (научно-технический журнал). М.: Горная книга, 2016. № 4. С. 354–366.

10. Чантuria B. A. Теоретические основы повышения контрастности свойств и эффективности разделения минеральных компонентов // Цветные металлы. 1998. № 9. С. 11–17.

11. Lessard J., Bakker J., McHugh L. Development of ore sorting and its impact on mineral processing economics // Minerals Engineering, Volume 65, 15 October 2014, P. 88-97.

## References

---

1. Ivanov V. G., Kultyshev V. I., Kolesaev V. B. [and others]. *Optimizatsiya razrabotki slozhnostrukturnykh uranovykh mestorozhdeniy* [Optimization of the development of complex-structure uranium deposits]. Moscow: MGGU, 2007. 265 p.
2. Kobzey A. S. *Radiometricheskoe obogashchenie mineralnogo syriya* [Radiometric enrichment of mineral raw materials]. Moscow: Mining book, 2015. 125 p.
3. Kultyshev V. I., Kolesaev V. B., Litvinenko V. G. [and others]. *Povyshenie effektivnosti podzemnoy razrabotki uranovykh mestorozhdeniy* [Efficiency increase of underground development of uranium deposits]. Moscow: MSIU, 2007. 212 p.
4. *Nanotehnologiya v blizhayshem desyatletii. Prognoz napravleniya issledovaniy* [Nanotechnology in the next decade. Forecast direction of research]; Ed. M. K. Roco, R. S. Williams and P. Alivisatos. Moscow: Mir, 2002. 292 p.
5. Ovseychuk V. A., Tirsky A. V., Podoprigora V. Ye., Beydin A. V. [and others]. *Otchet ob issledovatel'skikh ispytaniyah sortiruemosti uranovykh rud mestorozhdeniy Strel'tsovskogo rudnogo polya* [Report on research tests of the sorption of uranium ore deposits of the Strel'tsov ore deposit]. Chita, 2013. 104 p.
6. Ovseychuk V. A., Tirsky A. V., Podoprigora V. Ye., Beydin A. V. [and others]. *Otchet ob predvaritel'nykh ispytaniyah sortiruemosti uranovykh rud mestorozhdeniy Strel'tsovskogo rudnogo polya* [Report on preliminary tests of the sorption of uranium ore deposits of the Strel'tsov ore deposit]. Chita, 2013. 109 p.
7. Ovseychuk V. A., Tirsky A. V., Podoprigora V. Ye., Beydin A. V. [and others]. *Otchet ob priemochnykh (opytno promyshlennyyh) ispytaniyah sortiruemosti uranovykh rud mestorozhdeniy Strel'tsovskogo rudnogo polya* [Report on acceptance (pilot industrial) tests of the uranium ores sorption from the fields of the Strel'tsov ore deposit]. Chita, 2015. 52 p.
8. Skorina M. L., Yurtov E. V. *Himicheskaya tehnologiya* (Chemical Technology), 2003, no. 1, pp. 39–43.
9. Shurygin S. V., Ovseychuk V. A. *Gorny informatsionno-analiticheskiy byulleten* (Mining information-analytical bulletin), 2016, no. 4, pp. 354–366.
10. Chanturia V. A. *Tsvetnye metally* (Non-ferrous metals), 1998, no. 9, pp. 11–17.
11. Lessard J., Bakker J., McHugh L. Development of ore sorting and its impact on mineral processing economics // Minerals Engineering, Volume 65, 15 October 2014, P. 88-97.

## Коротко об авторах

---

**Бейдин Алексей Владимирович**, ст. преподаватель кафедры «Подземная разработка месторождений полезных ископаемых», Забайкальский государственный университет, г. Чита, Россия. Область научных интересов: физико-техническая и физико-химическая геотехнологии, геофизические методы сортировки руд, геомеханика  
beydin@mail.ru

**Овсейчук Василий Афанасьевич**, д-р техн. наук, профессор кафедры «Подземная разработка месторождений полезных ископаемых», Забайкальский государственный университет, г. Чита, Россия. Область научных интересов: геология, физико-техническая и физико-химическая геотехнологии, охрана окружающей среды, радиационная безопасность, геофизические методы сортировки руд  
mks3115637@yandex.ru

**Морозов Александр Анатольевич**, канд. техн. наук, начальник Центральной научно-исследовательской лаборатории ПАО «Приаргунское производственное горно-химическое объединение», г. Краснокаменск, Россия. Область научных интересов: физико-техническая и физико-химическая геотехнологии, охрана окружающей среды, геофизические методы сортировки руд  
morozovaa@ppgho.ru

**Briefly about the authors**

---

**Alexey Beydin**, senior teacher, Underground Mining of Mineral Deposits department, Transbaikal State University, Chita, Russia. Sphere of scientific interests: physical-technical and physical-chemical geotechnology, geophysical methods of ore separation, geomechanics

**Vasily Ovseychuk**, doctor of technical sciences, professor, Underground Mining of Mineral Deposits department, Transbaikal State University, Chita, Russia. Sphere of scientific interests: geology, physical-technical and physical-chemical geotechnology, environment preservation, radiation security, geophysical methods of ore separation

**Alexander Morozov**, candidate of technical sciences, chief of the Central Research laboratory, Priargunsk Industrial Mining and Chemical Union (PJSC «PIMCU»), Krasnokamensk, Russia. Sphere of scientific interests: physical-technical and physical-chemical geotechnology, environment preservation, geophysical methods of ore separation

**Образец цитирования**

---

Бейдин А. В., Овсейчук В. А., Морозов А. Исследования сортируемости руд, добываемых камерными системами, в зависимости от размера куска сортируемой горнорудной массы // Вестн. Забайкал. гос. ун-та. 2017. Т. 23. № 8. С. 33–40. DOI: 10.21209/2227-9245-2017-23-8-33-40.

Beydin A., Ovseychuk V., Morozov A. Researches on washability of ores, produced by chambered systems, depending on dimension of a chunk of sorted ore mining mass // Transbaikal State University Journal, 2017, vol. 23, no. 8, pp. 33–40. DOI: 10.21209/2227-9245-2017-23-8-33-40.

Дата поступления статьи: 12.08.2017 г.  
Дата опубликования статьи: 31.08.2017 г.

